

C1

Co/Cr과 Co/Mo 다층박막의 자기적 성질

강원대학교 남인탁
이순구

Magnetic Properties of Co/Cr and Co/Mo Multilayer Thin Films

Kangwon National University I. T. Nam
S. K. Lee

I. 서 론

Co계 다층박막(compositionally modulated film)의 수직자기이방성은 surface anisotropy가 주요원인으로 알려져 있고, 박막면에 수직하게 자라난 주상구조(columnar structure)에 의한 결정 이방성, stress-유도 이방성, 계면 거칠기(surface roughness)에 의한 이방성 등도 수직자기이방성의 원인으로 알려져 있다.¹⁾ 전자빔 증착법으로 제작한 다층박막은 진공압력, 기판온도등의 제작조건에 따라 다층박막의 수직자기이방성이 민감하게 변한다. 또한 기판에 도달하는 입자의 에너지가 dc magnetron sputtering방법의 경우보다 작기 때문에 일반적으로 뚜렷한 계면, 큰 자기이방성, 높은 보자력을 갖는다고 보고되었다.²⁾

E-beam을 이용하여 Co/Cr, Co/Mo multilayer를 형성하여 자기적 성질과 XRD분석을 행하였다.

II. 실험 방법

E-Beam Evaporator를 사용하여 Co/Cr, Co/Mo 다층박막을 증착하였다. 기판은 Corning cover glass를 사용하였다. Co, Cr 증발원에서 기판까지의 높이는 약 40cm이다. Co, Cr 그리고 Mo의 증착속도는 각각 Co 2.0~3.2Å/sec, Cr과 Mo는 1.3~2.0Å/sec로 하였다. Co/Cr, Co/Mo 다층박막은 Cr, Mo layer를 10Å으로 고정시키고 Co layer를 일정한 비율로 10Å에서 110Å 까지 변화시켜, 각각 10층 씩 총 20층, 즉 200Å에서 1200Å 두께의 Co/Cr, Co/Mo 다층박막을 제조하였다. 박막의 crystallographic structure는 CuK α 의 standard x-ray diffraction을 이용하여 조사하였고, 포화자화(Ms), 보자력(Hc)같은 자기적 성질은 VSM(vibrating sample magnetometer)을 이용하여 측정하였다.

III. 결과 및 고찰

Co/Cr, Co/Mo 다층박막의 crystallographic structure는 CuK α 의 x-ray diffraction으로 $5^\circ < 2\theta < 80^\circ$ 범위에서 측정하였는데 Bragg peak은 Fig.1에서 보는 바와 같이 hcp-Co(0002)의 $2\theta = 44.5^\circ$ (CuK α radiation)에서 가장 큰 값을 보인다. Co양의 증가에 따라 intensity가 증가하는데 Co/Cr이 Co/Mo 보다 더 큰 값을 보인다. Co thickness가 감소함에 따라 Ms값은 감소하며 [Fig.2(a)], Fig.2(b)에서 보는 바와 같이 다층박막 film은 in plane anisotropy를 갖는 soft magnetic region과 perpendicular anisotropy를 갖는 semi-hard region이 존재 한다. perpendicular anisotropy를 갖는 small region은 in-plane magnetization에 의해 상대적으로 큰 coercive force를 갖는다. Fig.3에서 볼 수 있듯이 보자력(Hc)의 변화는 Co/Cr, Co/Mo ratio가 1/3까지는 서서히 증가하다가 1/5이상에서는 급증한다.

IV. 참고 문헌

- [1] Y. Yafet, E. M. Gyorgy, and L. P. Walker, J. Appl. Phys., 60, 4236 (1986).
- [2] W. B. Zeper, H. W. van Kesteren, B. A. J. Jacobs, J. H. M. Spruit and P. F. Garcia, J. Appl. Phys., 70, 2264 (1991).

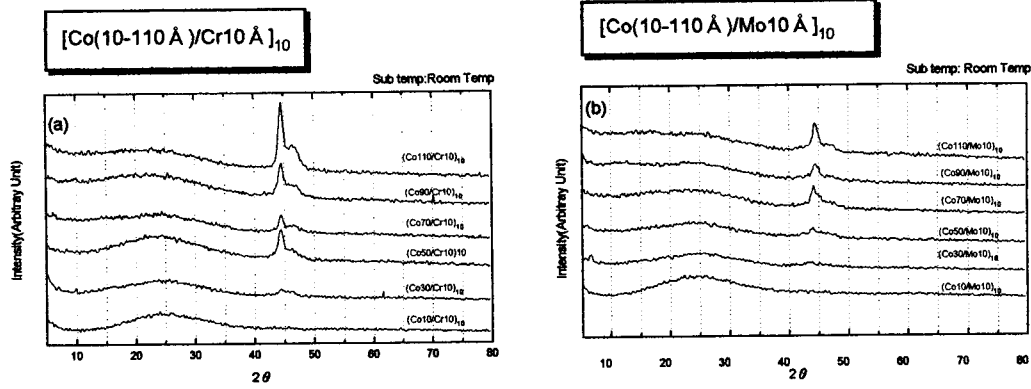


Fig1. X-ray diffraction pattern of the film: (a)Co/Cr layers, (b)Co/Mo layers

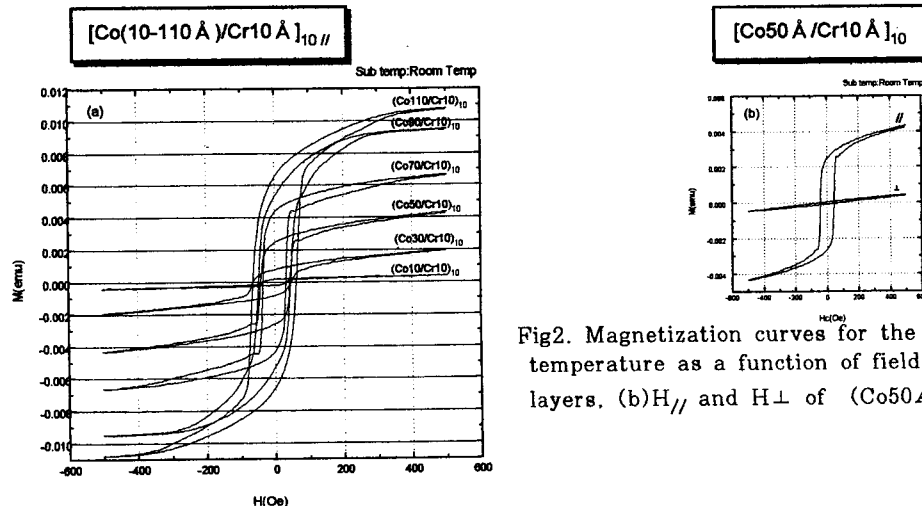


Fig2. Magnetization curves for the film:at room temperature as a function of field:(a) $H_{//}$ of Co/Cr layers. (b) $H_{//}$ and H_{\perp} of $(Co50\text{\AA}/Cr10\text{\AA})_{10}$

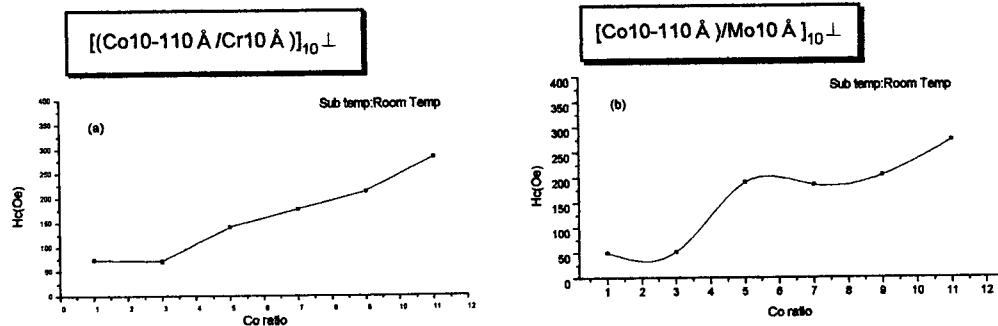


Fig3. Perpendicular coercivity as a function of Co ratio:(a)Co/Cr layers, (b)Co/Mo layers